

УДК 621.385.69

ТЕОРИЯ ВОЗБУЖДЕНИЯ ЭЛЕКТРОМАГНИТНЫХ КОЛЕБАНИЙ В КОАКСИАЛЬНОМ ОТРАЖАТЕЛЬНОМ ТРИОДЕ С РАДИАЛЬНО РАСХОДЯЩИМСЯ ПУЧКОМ

В.П. Григорьев, А.А. Тимофеев, А.В. Григорьев

Томский политехнический университет

E-mail: grig@am.tpu.ru

Методом кинетического уравнения исследуется механизм излучения электромагнитных колебаний в цилиндрическом триоде с виртуальным катодом с расходящимся электронным пучком. Определены спектр и инкремент возбуждаемых колебаний, и получено выражение для эффективности излучения. Проведен анализ эффективности излучения от типа возбуждаемых колебаний и параметров системы. Показано, что в коаксиальном триоде преимущественно возбуждаются низшие типы колебаний. При этом наиболее эффективное возбуждение электромагнитных колебаний имеет место на ТЕМ-моды.

Ключевые слова:

Коаксиальный триод, виртуальный катод, резонатор, собственная частота, собственные функции, возбуждение колебаний, эффективность излучения.

Key words:

Coaxial triode, virtual cathode, resonator, eigenfrequency, eigenfunctions, oscillation excitation, emission efficiency.

Генераторы электромагнитного излучения на основе систем с виртуальным катодом (ВК) привлекают к себе внимание в связи с отсутствием ограничения на ток из-за пространственного заряда, что обеспечивает достижение высокого уровня мощности излучения. Наиболее перспективны в этом плане триоды с виртуальным катодом, отличительными особенностями которых являются конструктивная простота, возможность использования всего тока пучка, компактность и отсутствие внешнего магнитного поля [1]. Наиболее полно последние преимущества могут быть реализованы в цилиндрических триодах коаксиального типа.

На возможность генерации электронно-магнитного излучения в таких системах с радиально сходящимся пучком было указано в теоретических [2, 3] и экспериментальных [4] работах. Однако, как показывают исследования стационарных состояний коаксиальных триодов различной геометрии [3], более предпочтительно использовать триоды с расходящимся электронным пучком.

Кроме того, в таких приборах весьма привлекательной представляется возможность генерации бездисперсионной ТЕМ-моды, для которой можно эффективно использовать согласующие элементы, рассчитанные на узкую полосу частот. Для полного использования всех преимуществ таких коаксиальных триодов на высоком уровне мощности необходимо провести детальное исследование и установить закономерности механизма взаимодействия радиально расходящимся электронными потоками с собственными полями при формировании виртуального катода.

В данной работе исследуется устойчивость радиально расходящегося электронного потока и возбуждение электромагнитных колебаний в коаксиальном отражательном триоде с виртуальным катодом.

Схема триода в цилиндрической системе координат (r, θ, z) , соответствующая реальным установкам, представлена на рис. 1. В такой геометрии объемы 1 и 2, образованные разделением внутрен-

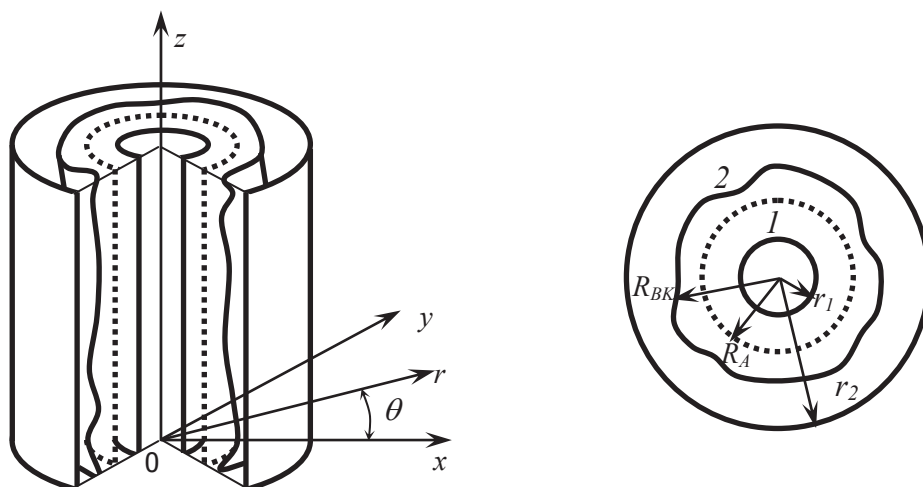


Рис. 1. Схема коаксиального триода: (r, θ, z) – цилиндрические координаты; R_K , R_A , R_{BK} – радиусы соответственно катода, анода, виртуального катода

него пространства сеточным анодом на радиусе R_A , представляют резонаторы с различными собственными частотами и типами колебаний. Радиусы катода и ВК обозначим через r_1 и R_{BK} , радиус цилиндрической камеры – r_2 , размеры резонансной системы по z – через h , а расстояние катод–анод и анод–ВК, соответственно, через ΔR_1 и ΔR_2 . Считаем, что по координате z размеры катода L_z и электронного пучка совпадают.

Основные уравнения

В стационарных радиально расходящихся электронных потоках движение электронов складывается из доминирующего радиального движения и поперечного движения по координатам r , z , которое в отсутствие внешнего магнитного поля можно учесть в виде разброса по скоростям, обеспечивающего поперечную температуру пучка в стационарном распределении.

Радиальное движение представляет нелинейные колебания в потенциальной яме $U(r)$, образованной внешним ускоряющим полем и полем пространственного заряда пучка, которая в отличие от плоских систем в коаксиальных триодах из-за кривизны является несимметричной [3]. Для описания радиального движения введем переменные – квадрат амплитуды колебаний электронов в стационарном состоянии $x=a^2$ и фазу $\varphi=\Omega t+\varphi_0$, где φ_0 – начальная фаза, а частота нелинейных колебаний $\Omega(x)$ при известном распределении потенциала $U(r)=(\gamma-\gamma_0)m_0c^2/e$ по областям $j=1-(-\pi\leq\varphi\leq0)$ и $j=2-(0\leq\varphi\leq\pi)$ [3] определяется соответствующим временем пролета электронов от анода до точек поворота:

$$\Omega_j = \frac{\pi}{2} \left\{ \int_1^{\gamma_0} \frac{dr}{d\gamma} \left| \frac{\gamma d\gamma}{c(\gamma^2-1)^{1/2}} \right| \right\}_j^{-1}, \quad j=1,2, \quad (1)$$

где $\gamma(r)$ – относительная энергия электронов, $\gamma_0=\gamma(R_A)$, e , m_0 – элементарный заряд и масса покоя электрона соответственно.

Учитывая связь переменных (φ, x) с координатой r и импульсом P_r , $r-R_A=asin\varphi$, $P_r=m_0\gamma a\Omega\cos\varphi$, кинетическое уравнение, описывающее эволюцию функции распределения электронов в промежутке катод – виртуальный катод под действием радиальных возмущений

$$F(\vec{r}, \vec{p}, t) = N\rho(z)[A_x f^{(0)}(x)g(p_\perp) + f^{(1)}(x, \varphi, \theta, p_\perp, t)] \quad (2)$$

запишется в виде

$$\frac{\partial f^{(1)}}{\partial t} + \dot{\varphi} \frac{\partial f^{(1)}}{\partial \varphi} + \dot{\theta} \frac{\partial f^{(1)}}{\partial \theta} = - \langle F_r^{(1)} \rangle \frac{2NA_x}{(m_0\gamma\Omega_r)^2} \frac{\partial f^{(0)}}{\partial x} g(\vec{p}_\perp), \quad (3)$$

где N – полное число электронов в области катод–виртуальный катод; $f^{(0)}(x)$, $g(p_\perp)$, $\rho_0(z)$ – стационарные распределения по соответствующим переменным, $\int f^{(0)}(x)g(p_\theta, p_z)dx dp_\theta dp_z = 1$, $\int \rho_0(z)dz = 1$ и интегри-

рование проводится по области, занятой пучком; $f^{(1)} \sim f_{\omega n}^{(1)} \exp(i\varphi - i\omega t + in\theta)$ – функция распределения электронов, связанная с возмущением; $\langle \rangle$ – усреднение силы возмущения по координате z , что справедливо при $L_z < \lambda$, $p_\perp = \sqrt{p_\theta^2 + p_z^2}$; $A_x = A/2\pi^2 m_0 \gamma_0 \Omega_0 R_A$,

$$A = \left\{ \int_0^{2\pi} \frac{\gamma(x_0, \varphi)}{2\pi\gamma_0} \left(1 + \frac{\sqrt{x_0}}{R_A} \sin \varphi \right) d\varphi \right\}^{-1}. \quad (4)$$

Сила возмущений, действующая на электроны $E_r^{(1)} = -eE_r^{(1)}$, в общем случае определяется суммарным полем, связанным как с возмущением плотностей тока и заряда пучка, так и с искажением формы потенциальной ямы, обусловленной колебаниями виртуального катода. Однако при возбуждении электромагнитных колебаний, как показано в [1, 2], доминирующим оказывается взаимодействие на собственных модах резонансной системы, обусловленное возмущениями плотности тока электронов. Принимая это во внимание для вычисления $E_r^{(1)}$, используем метод разложения по собственным функциям резонатора $\vec{E}_r(\rho)$ [5], $E_r^{(1)} = -D_\lambda \varphi_\lambda(r) \sin k_z z e^{im\theta}$, $\lambda = E, H$. При этом следует учитывать, что в такого типа системах резонансное взаимодействие на собственных модах может происходить как для E -волн:

$$\Psi_E^{(r)} = J'_n(k_\perp r) - [J'_n(k_\perp R_A) / N(k_\perp R_A)] N'_n(k_\perp r), \quad (5)$$

H -волн:

$$\Psi_H^{(r)} = J_n(\hat{k}_\perp r) - [J'_n(\hat{k}_\perp R_A) / N'(\hat{k}_\perp R_A)] N_n(\hat{k}_\perp r), \quad (6)$$

так и для ТЕМ-волны $\Psi_{TEM}^{(r)} = R_A/r$, где $J_n(\chi)$ и $N_n(\chi)$ – функции Бесселя и Неймана порядка n ; $J'_n(\chi)$ и $N'_n(\chi)$ – их производные по аргументу; k_\perp и \hat{k}_\perp – поперечные волновые числа E - и H -волн, определяемые из уравнений $\Psi_E(k_\perp r_{1,2}) = 0$ и $\Psi_H(\hat{k}_\perp r_{1,2}) = 0$ в соответствующих областях.

Проводя разложение поля по гармоникам $\exp(i\varphi - i\omega t)$ и учитывая несимметричность системы (1), из (2)–(4) можно получить дисперсионное уравнение, описывающее возбуждение электромагнитных колебаний в рассматриваемом триоде

$$1 = \sum_{j=1}^2 \left\{ \Lambda A c^2 \int \frac{iZ_\lambda(\omega, x)}{\Delta_l} g(\vec{p}_\perp) \frac{\partial f_{(x)}^{(0)}}{\partial x} d\Gamma \right\}_j, \quad (7)$$

где

$$d\Gamma = dx dp_\theta dp_z, \quad \Lambda = \frac{\omega e^2}{4\pi\gamma_0\Omega_0^2},$$

$$\omega_e^2 = \frac{4\pi e^2 n_e}{m_0}, \quad n_e = \frac{N_b}{\pi\Delta(R^2)L_z}.$$

$$Z_\lambda(\omega, x) = -i8\pi^2 D_\lambda^2 \rho_\perp^2 \frac{\Omega_0^2 \Delta(R^2)L}{c^2 R_A} J_\lambda = \frac{\omega + i\alpha_\lambda}{\Delta_\lambda^2} = Z_\lambda(0, x) \frac{\omega + i\alpha_\lambda}{\Delta_\lambda^2} \quad (8)$$

– импеданс, зависящий от типа возбуждаемых колебаний и параметров резонансной системы (1 или 2).

$$D_{\lambda}^2 = \frac{2\varepsilon_m d^2}{\pi h R_A \Phi_{\lambda}}, \quad \varepsilon_m = \begin{cases} 1/2 & \text{при } m=0 \\ 1 & \text{при } m \neq 0 \end{cases},$$

$$\Phi_E = \left\{ \frac{r^2}{R_A^2} [\Psi'_E(k_{\perp} r)]^2 \right\}_{r_{\min}}^{r_{\max}},$$

$$\Phi_H = \left\{ \frac{r^2}{R_A^2} \left(1 - \frac{n^2}{\hat{k}_{\perp}^2 r^2} \right) \Psi_H^2(\hat{k}_{\perp} r) \right\}_{r_{\min}}^{r_{\max}},$$

$$\Phi_{TEM} = \frac{1}{2} \left| \ln \frac{r_{1,2}}{R_A} \right|,$$

$$J_{\lambda} = \frac{1}{4\pi^2} \left[\int \frac{r}{R_A} \gamma \cos \varphi \Psi_{\lambda}^*(r) e^{il\varphi} d\varphi \right] \times$$

$$\times \left[\int \frac{\cos \varphi}{\gamma} \Psi_{\lambda}(r) e^{-il\varphi} d\varphi \right], \quad (9)$$

φ_E области 1 или 2 соответственно, $\Delta(R^2) = r_{\max}^2 - r_{\min}^2$, r_{\min}^2 и r_{\max}^2 — наименьший и наибольший радиусы в областях 1 или 2.

$$\rho_{\perp} = \int_0^h \sin k_z z \rho_0(z) dz, \quad \Delta_l = \omega - l\Omega(x) - n\dot{\theta} - k_z v_z.$$

$$\Delta_{\lambda}^2 = \omega_{\lambda}^2 - \omega^2 - i\omega\alpha,$$

$$\alpha_{\lambda} = (1-i)\sqrt{\omega\omega_{\lambda}} / Q_{\lambda}, \quad \omega_{\lambda} = ck = c(k_z^2 + k_{\perp,\lambda}^2)^{1/2}$$

— собственная частота резонансного объема (1 или 2); Q_{λ} — добротность; $k_z = m\pi/h$, $m=1,2,3,\dots, k_{\perp,E} = k_{\perp} = \mu_s/R_A$, $k_{\perp,E} = k_{\perp} = \hat{\mu}_s/R_A$, $\mu_s = \mu_{ns}$ и $\hat{\mu}_s = \hat{\mu}_{ns}$ — корни уравнений $\Psi_E(r)=0$ и $\Psi_H(r)=0$ соответственно.

Анализ дисперсионного уравнения.

Эффективность излучения

Из общего анализа дисперсионного уравнения (7) следует, что возбуждение когерентных колебаний электронного потока происходит на частотах, близких к частотам колебаний электронов в потенциальной яме или их гармоникам $\omega = l\Omega_j + \delta_{\omega}$, $|\delta_{\omega}| < l\Omega_j$. На этих же частотах возбуждаются электромагнитные колебания и колебания виртуального катода. При этом, как показано экспериментально и теоретически [1, 2], основное излучение генерируется в области, содержащей виртуальный катод. Учитывая последнее, достаточно рассмотреть резонансную область — 2.

Исследование возбуждения электромагнитных колебаний в коаксиальном триоде проведем для стационарного распределения вида:

$$f^{(0)}(x)g(\vec{p}_{\perp}) = \frac{1}{\pi^3} \frac{\Delta x}{\tilde{x}^2 + \Delta x^2} \cdot \frac{\Delta p_{\theta}}{p_{\theta}^2 + \Delta p_{\theta}^2} \frac{\Delta p_z}{p_z^2 + \Delta p_z^2}, \quad (10)$$

где $\tilde{x} = x - x_0$ — отклонение квадрата амплитуды колебаний электронов от среднего значения; Δx , $\Delta p_{\theta,z}$ — разбросы по соответствующим переменным.

В пределе Δx , $\Delta p_{\theta,z} \rightarrow 0$ распределение (10) описывает поток моноэнергетических осцилляторов.

Проводя интегрирование в уравнении (7) при малых разбросах, получим, что возбуждение электромагнитных колебаний на собственных частотах резонатора ($\omega \approx \omega_{\lambda} \approx \Omega_2$) происходит с инкрементом

$$\varsigma = \frac{\sqrt{3}}{2} \left\{ \Lambda A(iZ(0, x_0)) \frac{lc^2}{2\Omega_0^2 x_0} |K| \right\}^{1/3} \Omega_0 -$$

$$-\xi \Omega_0 - \frac{n}{R_A} \Delta v_{\theta} - k_z \Delta v_z - \frac{l\Omega_0}{\delta Q_{\lambda}}, \quad (11)$$

где $K = \left(\frac{\partial \Omega}{\partial x} \right)_0 \frac{x_0}{\Omega_0}$ — параметр нелинейности;

$\xi = l |K| \frac{\Delta x}{x_0}$, $\Delta v_{\theta,z} = \frac{\Delta p_{\theta,z}}{m_0 \gamma}$ — разбросы по скорости,

усредненные в промежутке $0 \leq \varphi \leq \pi/2$.

Из (11) и анализа выражения импеданса (8) следует, что наиболее быстрый рост электромагнитных колебаний происходит на низших типах колебаний резонатора по поперечным волновым числам. Кроме того, как и для плоских триодов [1], здесь сохраняется вывод о преимущественном возбуждении когерентных колебаний на первой гармонике $l=1$.

Выражение для эффективности излучения получим из условия выхода возбуждения электромагнитных колебаний на стационарный режим.

В рассматриваемом случае выход на стационарный режим возбуждаемых колебаний и уровень излучения связаны с нелинейностью движения электронов $\Delta\Omega = (\partial\Omega/\partial x)_0(x-s)$ и выходом их из резонанса с возбуждаемой электромагнитной волной. Условие нарушения резонанса имеет вид:

$$|\Omega_0 - \Omega_s| = 2 |R_e \delta_{\omega}| = 2\varsigma / \sqrt{3}, \quad (12)$$

где a_s , Ω_s — амплитуда и частота колебаний осциллятора в момент насыщения.

Учитывая изменение энергии слаборелятивистского нелинейного осциллятора за счет изменения его амплитуды в процессе излучения

$$\delta \xi_{\text{осц}} =$$

$$= -\frac{m_0}{2} \left[\frac{\partial \gamma}{\partial x} x \Omega^2 + \gamma \Omega^2 + 2\gamma x \frac{\partial \Omega}{\partial x} \Omega \right]_0 (x - x_s) \quad (13)$$

и определяя эффективность излучения η соотношением $\eta = \delta \xi_{\text{осц}} / \xi_{\text{осц}}$ из (11), (12), (13), получим:

$$\eta = \frac{2}{\sqrt{3}} \frac{\varsigma}{l\Omega_0} |K| \left| 1 + \frac{\gamma_0 - 1}{\gamma_0} + 2K \right|. \quad (14)$$

Из соотношений (8), (9), (11), (14) следует, что эффективность излучения зависит от геометрии диода, внешнего напряжения энергетического разброса электронов и типа возбуждаемых колебаний. Поэтому для получения максимальной эффективности излучения необходимо провести исследование импеданса и инкремента от типа колебаний.

В рассматриваемой резонансной системе возможно возбуждение как E - и H -волн, так и ТЕМ-волны. Однако прежде чем проводить сравнительный анализ эффективности возбуждения этих типов колебаний, заметим, что достаточно проанализировать низшие типы. Это обусловлено зависимостью импеданса от функций Бесселя, которые, как известно, достаточно быстро спадают с ростом порядка и увеличением аргумента. Кроме того, как

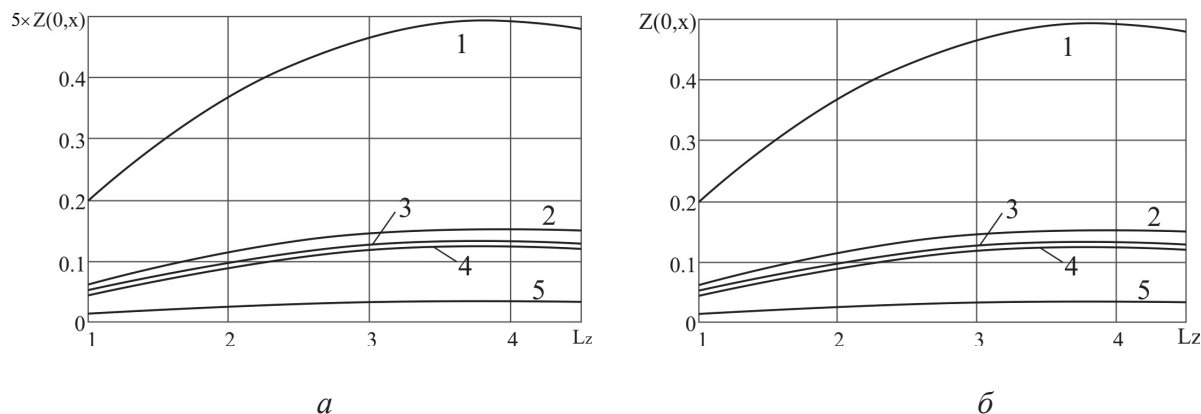


Рис. 2. Зависимость импеданса $Z(0, x)$ от длины катода L_z . 1 – ТЕМ, $m=9$; 2 – E_{019} ; 3 – H_{019} ; 4 – E_{119} ; 5 – H_{110} . Расстояние центра катода от края камеры: а) $L=14,8$ см, б) $L=13,0$ см

следует из выражений (11) и (14), для более высоких мод возрастает роль разбросов по импульсам электронов p_θ , p_z в подавлении возбуждения этих колебаний, что также ведет к снижению эффективности излучения на высоких модах. С учетом этого расчет и анализ импедансов проведем на низших типах колебаний для параметров экспериментальной установки [3]: $r_1=5,5$ см; $r_2=15,5$ см; $R_A=6,7$ см; $h=52$ см; ускоряющее напряжение 500...600 кВ и частота излучения $\omega=\Omega_0=1,812 \cdot 10^{10}$ с $^{-1}$.

Для приведенных параметров наиболее близкими по собственным частотам ω_r к частоте Ω_0 будут колебания ТЕМ, $m=9$, E_{019} , E_{119} , H_{019} и H_{110} . Зависимость импедансов $Z(0, x)$ для указанных типов колебаний и однородного пучка по координате z приведены на рис. 2.

Из сравнения графиков нетрудно заметить, что наиболее высокий импеданс для однородного по z пучка достигается при помещении катода в максимум волны. Кроме того, из поведения кривых на рис. 2 и выражений (11), (14) следует, что в коаксиальном триоде с расходящимся пучком наиболее эффективно возбуждается ТЕМ-мода. Этот вывод подтверждается еще тем, что с ТЕМ-модой наиболее просто осуществить резонанс одновременно в объемах 2–1. Что касается возбуждения других типов колебаний, то для согласования их резонансных условий в объемах 2 и 1 требуются дополнительные технические решения.

Используя выражение (14) и зависимость параметра нелинейности K от диодного напряжения [2], можно получить, что при возбуждении ТЕМ-моды в триоде с моноэнергетическим пучком $\zeta(\Delta x=\Delta p_{\theta,z}=0)=\zeta_0$,

$\gamma_0 \sim 2,0 \dots 2,5$ при $\lambda \sim 10$ см и $\zeta_0/\Omega_0 \sim 0,15 \dots 0,22$ теоретическая эффективность равна $\eta \sim 35 \dots 50$ %. Для повышения эффективности излучения в реальных установках необходимо оптимизировать параметры установки и согласование вывода электромагнитной энергии из резонансной системы.

Выводы

Проведенные исследования позволяют сделать следующие выводы:

1. Возбуждение электромагнитных колебаний в коаксиальном отражательном триоде с радиально расходящимся пучком происходит на частоте когерентных колебаний ω , близкой к частоте осциллирующих электронов, которая определяется распределением потенциала $U(r)$. Зависимость частоты когерентных колебаний от резонансного контура слабая и определяется величиной $\text{Re} \Delta_{\zeta_0}(\zeta_0/\omega) \ll 1$. При этом $\omega > \Omega_0$.
2. Наибольший рост возбуждаемых колебаний и эффективность излучения соответствуют колебаниям на первой гармонике $l=1$, приводящим к колебаниям центра тяжести электронного облака осциллирующих электронов (и ВК).
3. В таких системах преимущественно возбуждаются низшие типы электромагнитных колебаний. При этом наиболее высокая эффективность излучения достигается при настройке резонансной системы на возбуждение ТЕМ-моды.

Работа выполнена по теме Государственного задания «Исследование механизма СВЧ излучения и методов повышения эффективности коаксиального виркатора и релятивистского магнетрона». № НИР 0.58.2012.

СПИСОК ЛИТЕРАТУРЫ

1. Диденко А.Н., Григорьев В.П., Жерлицын А.Г. Генерация электромагнитных колебаний в системах с виртуальным катодом // Плазменная электроника / под ред. В.И. Курилко. – Киев: Наукова думка, 1989. – С. 112–131.
2. Григорьев В.П. Электромагнитное излучение в коаксиальном триоде с виртуальным катодом // Журнал технической физики. – 1994. – Т. 64. – № 7. – С. 122–129.
3. Григорьев В.П., Коваль Т.В., Мельников Г.В., Рахматуллин Р.Р. Коаксиальный отражательный триод с радиально расходя-

щимся пучком // Известия Томского политехнического университета. – 2009. – Т. 314. – № 4. – С. 123–127.

4. Жерлицын А.Г., Коваль Т.В., Канаев Г.Г., Нгуен М.Т. Исследование генерации электромагнитного излучения в коаксиальном виркаторе с расходящимся пучком // Известия Томского политехнического университета. – 2012. – Т. 321. – № 2. – С. 81–85.
5. Кисунько Г.В. Электродинамика полых систем. – Л.: ВКАС, 1949. – 426 с.

Поступила 14.02.2013 г.